

**Пакет прикладных программ для анализа  
продуктивности разноориентированной скважины  
в деформируемом наклонно-слоистом  
анизотропном пласте**

Б. Т. ЖУМАГУЛОВ

*Казахский национальный университет им. аль-Фараби, Алматы, Казахстан*

Ж. К. МАСАНОВ

*Казахская академия транспорта и коммуникаций им. М. Тынышпаева,  
Алматы, Казахстан*

Н. Т. АЖИХАНОВ

*Международный казахско-турецкий университет им. К.А. Ясави,  
Туркестан, Казахстан  
e-mail: ajihanov@mail.ru*

Рассматривается задача определения продуктивности горизонтальной скважины в мелкослоистом пласте с наклонной плоскостью изотропии при учете напряженно-деформируемого состояния.

*Ключевые слова:* модель фильтрации, МКЭ, горизонтальная скважина, дебит, деформируемый пласт, напряженно-деформируемое состояние.

## 1. Постановка задачи

Пусть продольная ось ствола горизонтальной скважины (ГС) радиусом  $r$  совпадает с осью  $Oy'$  (рис. 1), плоскость  $xOz$  не является плоскостью упругой симметрии и условие плоской деформации не выполняется. Однако в силу однородности пласта все поперечные сечения ствола ГС искривляются одинаково, т. е. выполняется условие обобщенной плоской деформации [1].

Пусть уравнения равновесия анизотропного пласта при фильтрации в нем жидкости имеют вид

$$\sum_{j=1}^3 \frac{\partial \sigma_{ij}}{\partial x_j} + \frac{\partial p}{\partial x_i} = 0, \quad i = 1, 2, 3. \quad (1)$$

При этом закон Гука записывается в виде

$$\sigma_{ij} = \sum_{k,l=1}^3 d_{ijkl} \varepsilon_{kl} + \alpha \delta_{ij} p, \quad i, j = 1, 2, 3, \quad (2)$$

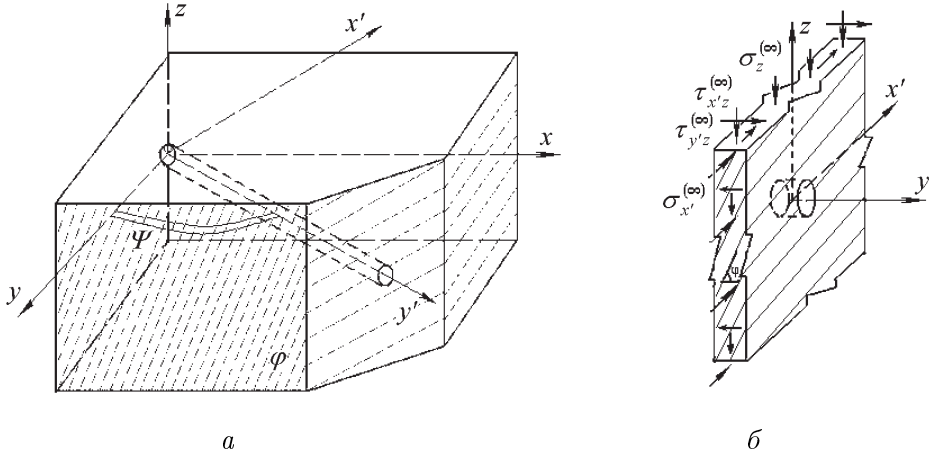


Рис. 1. Схема разноориентированной ГС в наклонной транстронной среде: *a* — расчетная область; *б* — единичная длина ствола ГС

где  $\sigma_{ij}$  — компоненты напряжения;  $\varepsilon_{kl}$  — компоненты деформации;  $p$  — давление жидкости, а коэффициенты симметричной матрицы [D]

$$\begin{aligned}
 d_{1,1} &= e_1 \cos^4 \psi + e_5 \sin^4 \psi + \frac{1}{2}(e_2 + 2e_{13}) \sin^2 2\psi, \\
 d_{1,2} &= e_3 \cos^2 \psi + e_6 \sin^2 \psi, \\
 d_{1,3} &= (e_4 - 2e_{11}) \cos^2 \psi \sin \psi + e_7 \sin^3 \psi, \\
 d_{1,4} &= e_4 \cos^3 \psi + (e_7 + 2e_{11}) \sin^2 \psi \cos \psi, \\
 d_{1,5} &= (e_1 - 2e_{13} - e_2) \cos^3 \psi \sin \psi + (e_2 + 2e_{13} - e_5) \sin^3 \psi \cos \psi, \\
 &\dots \\
 d_{5,5} &= e_{13} + (e_1 + e_5 - 2e_2 - 4e_{13}) \sin^2 \psi \cos^2 \psi.
 \end{aligned}$$

Здесь

$$\begin{aligned}
 e_1 &= \frac{E_1(E_1 - E_2 v_2^2)}{(1 + v_1)(E_1(1 - v_1) - 2E_2 v_2^2)} \cos^4 \varphi + \frac{E_1 E_2 (1 - v_1)}{E_1(1 - v_1) - 2E_2 v_2^2} \sin^4 \varphi + \\
 &\quad + \frac{1}{2} \left( \frac{E_1 E_2 v_2}{E_1(1 - v_1) - 2E_2 v_2^2} + 2G_2 \right) \sin^2 2\varphi, \\
 e_2 &= \frac{E_1(E_1 v_1 + E_2 v_2^2)}{(1 + v_1)(E_1(1 - v_1) - 2E_2 v_2^2)} \cos^2 \varphi + \frac{E_1 E_2 v_2}{E_1(1 - v_1) - 2E_2 v_2^2} \sin^2 \varphi, \\
 &\dots \\
 e_{12} &= G_2 + \frac{1}{4} \left( \frac{E_1((E_1 - E_2 v_2)v_1 + (v_2^2 - 2v_2 - 2v_1 v_2 + 1)E_2)}{(1 + v_1)(E_1(1 - v_1) - 2E_2 v_2^2)} - 4G_2 \right) \sin^2 2\varphi, \\
 e_{13} &= G_2 \sin^2 \varphi + \frac{E_1}{2(1 + v_1)} \cos^2 \varphi.
 \end{aligned}$$

Пласт, вскрытый горизонтальной скважиной с ориентированным под углом  $\psi$  стволовом  $S_3$  относительно кровли и подошвы пласта ( $S_1$  и  $S_2$  соответственно), является непроницаемым. Требуется найти влияние деформации на дебит скважины  $Q$ . Для решения поставленной задачи необходимо прежде всего восстановить в области фильтрации

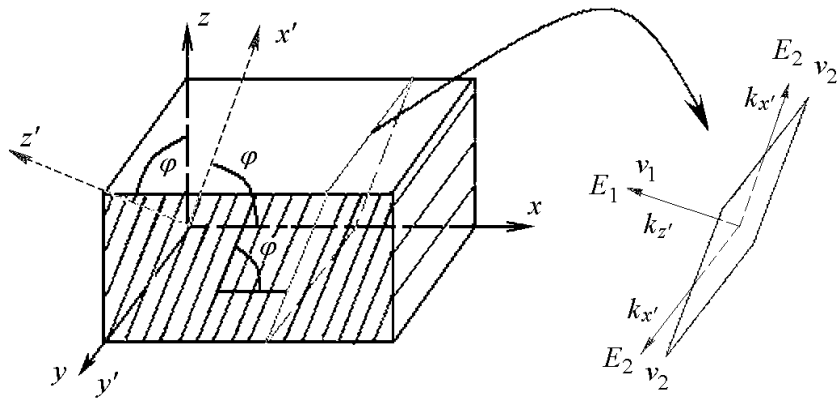


Рис. 2. Упругие и фильтрационные коэффициенты трансверсально-изотропной среды

функцию давления  $p = p(x, y, z, t)$ , которая с учетом принятых положений является решением задачи Дирихле. Процесс нестационарной обобщенной фильтрации жидкости в разноориентированной горизонтальной скважине в трансверсально-изотропной пористой среде при обобщенной деформации описывается уравнением [2]

$$\frac{1}{\eta} \frac{\partial p}{\partial t} - \alpha \frac{\partial \varepsilon_v}{\partial t} = \frac{\partial}{\partial x} \left( \frac{k_x}{\mu} \frac{\partial p}{\partial x} \right) + 2 \frac{\partial}{\partial x} \left( \frac{k_{xz}}{\mu} \frac{\partial p}{\partial z} \right) + \frac{\partial}{\partial z} \left( \frac{k_z}{\mu} \frac{\partial p}{\partial z} \right), \quad (3)$$

где  $\alpha$  — коэффициент разгрузки,  $\eta$  — модуль Био,  $\mu$  — вязкость флюида,  $\varepsilon_v$  — объемная деформация породы.

Начально-граничные условия в этом случае имеют следующий вид:

$$p(x, y, z, 0) = p_0, \quad (4)$$

$$\left. \frac{\partial p}{\partial n} \right|_{s_1} = 0, \quad \left. \frac{\partial p}{\partial n} \right|_{s_2} = 0, \quad (5)$$

$$p|_{S_3} = p_*, \quad (6)$$

$$p|_{s_4} = p_k(x, y, z, t), \quad (7)$$

$$u|_{s_2} = v|_{s_2} = w|_{s_2} = 0, \quad u|_{s_4} = v|_{s_4} = 0. \quad (8)$$

Проницаемость анизотропного пласта определяется как

$$\begin{aligned} k_x &= (k_{x'} \cos^2 \psi + k_{y'} \sin^2 \psi) \cos^2 \varphi + k_{z'} \sin^2 \varphi, \\ k_{xz} &= k_{x'} \cos^2 \psi + k_{y'} \sin^2 \psi, \\ k_z &= (k_{z'} \cos^2 \psi + k_{y'} \sin^2 \psi) \cos^2 \varphi + k_{x'} \sin^2 \varphi. \end{aligned} \quad (9)$$

В частности, значения проницаемости (9) в случае трансверсально-изотропного (трансропного) пласта с наклонными плоскостями изотропии (рис. 2) имеют вид

$$\begin{aligned} k_x &= k_{x'} \cos^2 \varphi + k_{z'} \sin^2 \varphi, \\ k_{xz} &= k_{x'}, \\ k_z &= (k_{z'} \cos^2 \psi + k_{x'} \sin^2 \psi) \cos^2 \varphi + k_{x'} \sin^2 \varphi. \end{aligned} \quad (10)$$

Решение задачи (1)–(9) аналитическими методами приводит к трудностям, связанным с учетом анизотропии пласта и угла ориентации ГС при определении производительности последней. С этими и другими параметрами поставленную задачу можно численно реализовать с помощью метода конечных элементов (МКЭ).

## 2. Алгоритм вычисления

При вычислении дебита ГС используются следующие соотношения МКЭ. Если в качестве замкнутой области рассматривать изопараметрический конечный элемент первого порядка, то контурный поток сводится к четырем узловым расходам при давлениях  $P_i$  ( $i = 1, 2, 3, 4$ ). Дополнительная работа потока на контуре может быть выражена через сумму произведений узловых расходов и вариаций давления [3]

$$A_1 = \frac{1}{\rho g} \{Q\}^T \{dP\} = \frac{Q_1}{\rho g} dP, \quad (11)$$

где  $\{Q\} = (Q_1 Q_2 Q_3 Q_4)^T$  — вектор узловых притоков конечного элемента;  $\{dP\} = \{dP \ 0 \ 0 \ 0\}^T$  — вектор вариаций давления;  $\rho$  — плотность жидкости;  $g$  — ускорение силы тяжести. При этом дополнительная работа потока в пределах элемента равна интегралу по площади элемента [4]

$$A_2 = \frac{1}{\rho g} \int_S \{dP\}^T [B]^T [D] [B] \{P\} dS, \quad (12)$$

где  $[D]$  — матрица коэффициентов деформации,  $[B]$  — матрица градиентов давления. Приравнивая  $A_1$  и  $A_2$ , из соотношений (11) и (12) получаем выражение для дебита одного узла

$$Q_1 = \frac{1}{dP} \int_S \{dP\}^T [B]^T [D] [B] \{P\} dS.$$

После аналогичной процедуры для других узлов имеем

$$\{Q\} = \int_S [B]^T [D] [B] \{P\} dS.$$

Таким образом, для каждого элемента определяется вектор узловых притоков, затем с помощью суммирования находится дебит ГС в расчетной области. Основная матрица дебитов расчетной области формируется из соседних конечных элементов, соединенных между собой в одной узловой точке. При этом необходимо вычислить давление, компоненты перемещения, напряжения и деформации.

## 3. Вычислительный эксперимент

Упругое деформируемое состояние трансверсально-изотропного пласта с наклонной под углом  $\varphi$  плоскостью изотропии изучается с применением обобщенного закона Гука. Численный эксперимент проводился для изотропных горных пород типа аргиллит, алевролит, песчаник, известняк с соответствующими модулями упругости и коэффициентами Пуассона  $E = 1.34, 0.62, 2.95, 5 (10^4 \text{ МПа})$ ,  $v^{(k)} = 0.3, 0.2, 0.35, 0.11$ . В качестве трансверсально-изотропной породы с наклонной плоскостью изотропии рассматривается алевролит со следующими упругими характеристиками:  $E_1 = 1.54 \cdot 10^4 \text{ МПа}$ ,  $E_2 = 0.98 \cdot 10^4 \text{ МПа}$ ,  $v_1 = 0.22$ ,  $v_2 = 0.25$ ; модуль сдвига  $G_2 = 0.36 \cdot 10^4 \text{ МПа}$ . На рис. 3 представлены изолинии нормальных напряжений при  $\varphi = 30$  и  $60^\circ$ .

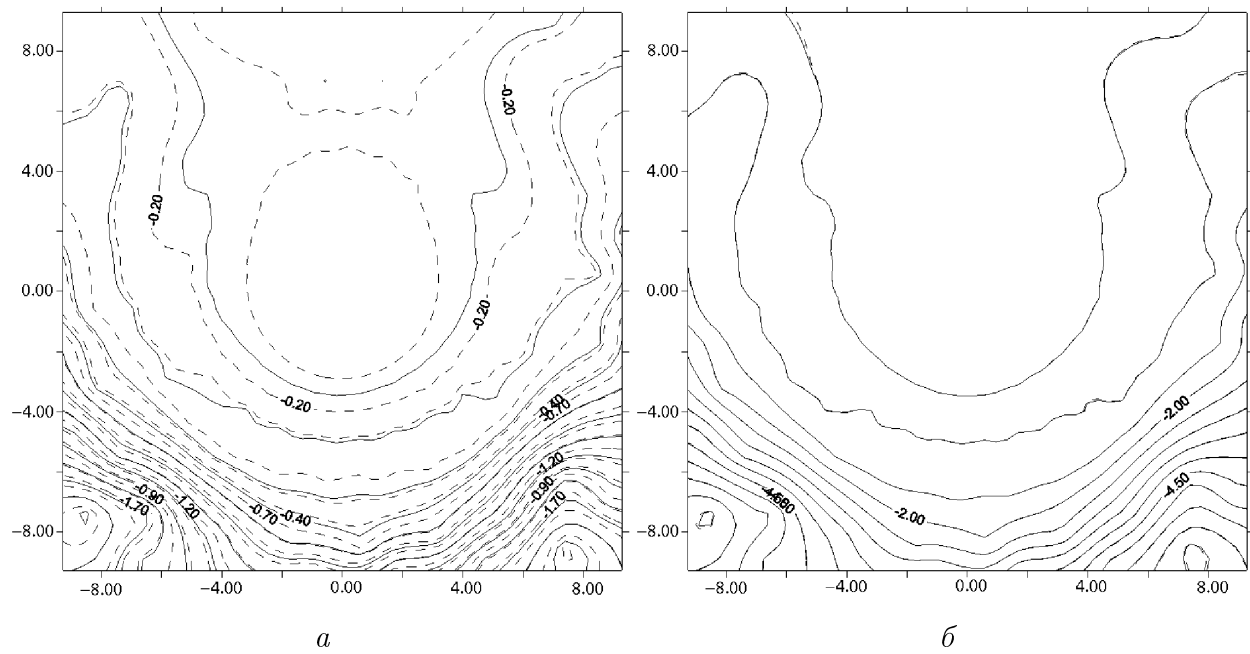


Рис. 3. Изолинии нормальных напряжений:  $a$  —  $\sigma_x$ ;  $\delta$  —  $\sigma_z$ ;  $\varphi = 30^\circ$  (штрих),  $60^\circ$  (сплошные линии)

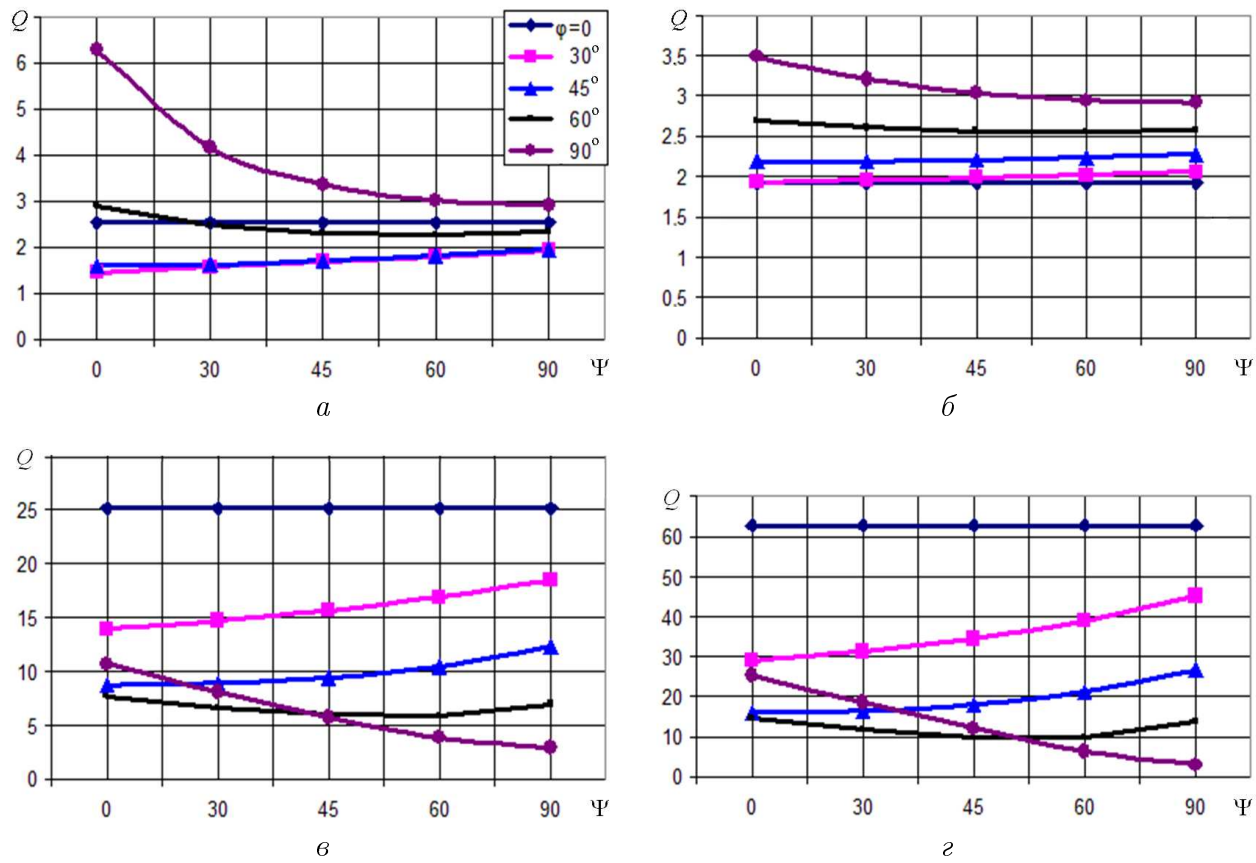


Рис. 4. Влияние  $\psi$  и  $\varphi$  на дебит ГС при  $k_z/k_x = 0.1$  ( $a$ ),  $k_z/k_x = 0.5$  ( $\delta$ ),  $k_z/k_x = 5$  ( $c$ ),  $k_z/k_x = 10$  ( $\varepsilon$ )

Исследовано влияние упругих и фильтрационных характеристик на дебит разноориентированной скважины с учетом угла наклона плоскости изотропии трансверсально-изотропного пласта (рис. 4).

Разработанный алгоритм и составленный комплекс программ тестировались на известной задаче определения дебита ГС [5] в изотропном пласте. Полученные результаты отличаются от строгого решения не более чем на 5 %.

Проведенный вычислительный эксперимент и анализ результатов, выполненный для наклонного трансверсально-изотропного пласта, показывают, что с увеличением количества конечных элементов в дискретной модели тела наблюдается совпадение двух значащих цифр в значениях компонента перемещения  $u$ , нормальных напряжений  $\sigma$ , а также интенсивности напряжений и деформаций. Таким образом, можно получить оценку изменения давления жидкости в напряженно-деформируемом состоянии трансверсально-изотропного пласта.

## Список литературы

- [1] МАСАНОВ Ж.К. О распределении давления на упругую крепь выработки, заложенной в наклонно-слоистом массиве // Проблемы механики горных пород. Новосибирск: Наука, 1971. С. 150–151.
- [2] Ажиханов Н.Т. Фильтрация жидкости в упругой транстропной среде с горизонтальной скважиной (плоская фильтрация и деформация) // Вопр. вычисл. и прикл. математики. 2009. Вып. 123. С. 83–93.
- [3] Амусин Б.З., Фадеев А.В. Метод конечных элементов при решении задач горной механики. М.: Недра, 1975. 142 с.
- [4] Фадеев А.Б. Метод конечных элементов в геомеханике. М.: Недра, 1987. 221 с.
- [5] Борисов Ю.П., Пилатовский В.П., Табаков В.П. Разработка нефтяных месторождений горизонтальными и многозабойными скважинами. М.: Недра, 1964. 154 с.

*Поступила в редакцию 26 марта 2010 г.,  
с доработки — 28 июня 2010 г.*